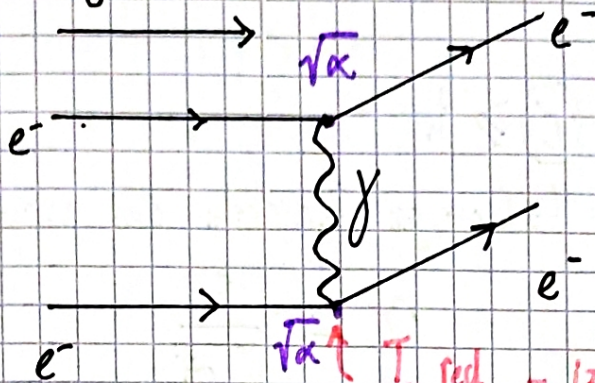


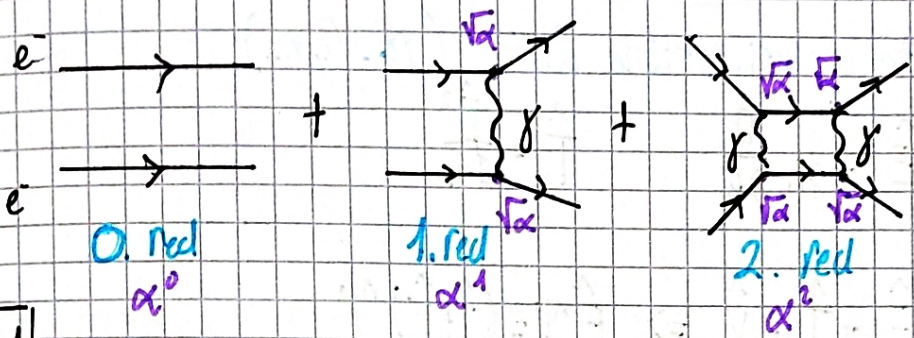
Osnovni delci

Schematično interakcije opisujemo z Feynmanovimi diagrami.

EM sipanje npr:



$\sqrt{\alpha}$ I red - izmenjiva energija fotona



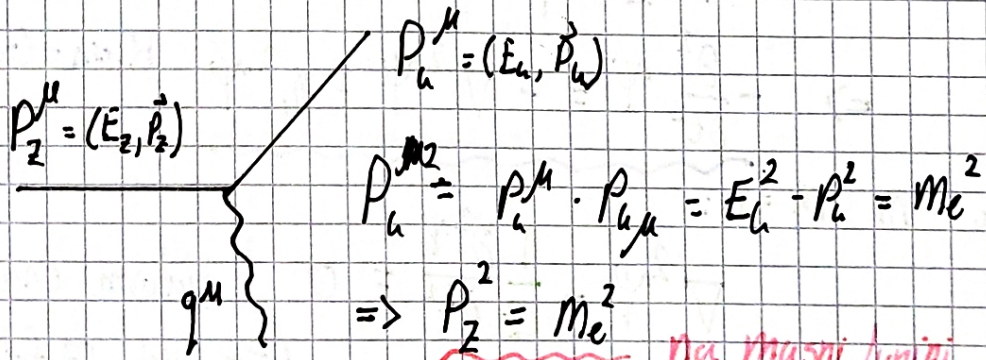
$\hbar = c = 1$

$|V_{fi}| \sim \frac{e^2}{4\pi\epsilon_0} = \alpha \hbar c$

$\alpha = \alpha_{EM} = 1/137$

oz. vozlišče

V vsaki verteksu pripisemo $\sqrt{\alpha}$. Za matrični element jih zmnožimo.



$P_\mu^2 = P_\mu^\mu \cdot P_{\mu\mu} = E_\mu^2 - P_\mu^2 = m_e^2$

$\Rightarrow P_2^2 = m_e^2$

na masni lupini (on mass shell)

$q^\mu = (E_\gamma, \vec{p}_\gamma)$

$|\vec{p}_\gamma| = E_\gamma$

$q^2 = m_\gamma^2 = 0$

$q^2 \neq 0 = Q^2$

Prosta - realna deka

\Rightarrow Virtualna, off-mass shell

To lahko razumemo iz načelom neobčutenosti, da si "maso/virtualnost" za kratke čase sposodi iz vakuma.

$$\Delta E \sim \hbar$$

$$\uparrow$$

$$\sqrt{|Q^2|} \sim \hbar$$

Virtualnega delca ne moremo izmeriti

↳ Dovoljen življenjski čas virtualnega delca

$$\tau \approx \frac{\hbar}{\sqrt{|Q^2|}}$$

Valovna enačba za relativistične delce (rd. l.m.)

Klasično: $\hat{H} = \hat{E} = i\hbar \frac{\partial}{\partial t}$ $\hat{T} = \frac{\hat{p}^2}{2m}$

ali $\hat{H} = \hat{E} = \hat{T} + \hat{V} \Rightarrow \hat{E}\Psi = (\hat{T} + \hat{V})\Psi$

Schrödingerjeva enačba

Relativnost:

($\hbar = c_0 = 1$)

$$E^2 = p^2 + m^2$$

$$\hookrightarrow \hat{E}^2 = \hat{p}^2 + m^2 \Rightarrow \hat{E}\Psi = (\hat{p}^2 + m^2)\Psi$$

$$\Rightarrow -\frac{\partial^2}{\partial t^2} \Psi = -\nabla^2 \Psi + m^2 \Psi$$

Klein-Gordonova enačba

Če je $m = 0$:

$$\nabla^2 \Psi - \frac{\partial^2 \Psi}{\partial t^2} = 0$$

Valovna enačba!

(Em. val. oz fotoni za $m = 0$)

3D: $\nabla^2 = \Delta$

4D: $\frac{\partial^2}{\partial t^2} - \nabla^2 = \square$ d'Alembertov operator

$$\Rightarrow (\square + m^2)\Psi = 0$$

Klein-Gordonova enačba

K-G enačba ne upošteva spin ("spin 0" rešitev/enačba). Čez nekaj časa bomo pršli do Diracove enačbe, ki to popravi. Dodatno ker smo v relativističnem velja:

$$E^2 = p^2 + m^2$$

$$E = \pm \sqrt{p^2 + m^2}$$

Kaj je z rešitvami $E < 0$?

\Rightarrow Diracova enačba to upošteva, K-G

pa ima resen problem z $E < 0$ rešitvami.

Kontinuitetna enačba (podpoglavje?)

$$\frac{\partial \rho}{\partial t} + \vec{\nabla} \cdot \vec{j} = 0$$

V kvantni mehaniki je verjetnostna gostota $|\psi|^2$. Iz tega in SE bi radi kontinuitetno enačbo.

$$i \frac{\partial \psi}{\partial t} = -\frac{1}{2m} \nabla^2 \psi; \quad \# V=0 / \cdot (-i \psi^*)$$

$$\psi^* \frac{\partial \psi}{\partial t} = +\frac{i}{2m} \psi^* \nabla^2 \psi$$

in analogno naredimo za kompleksno konjugacijo

$$\psi \frac{\partial \psi^*}{\partial t} = -\frac{i}{2m} \psi \nabla^2 \psi^*$$

To seštejemo skupaj in dobimo:

$$\psi^* \frac{\partial \psi}{\partial t} + \psi \frac{\partial \psi^*}{\partial t} = \frac{i}{2m} [\psi^* \nabla^2 \psi - \psi \nabla^2 \psi^*]$$

$$\frac{\partial}{\partial t} (\psi^* \psi)$$

\uparrow

$$|\psi|^2$$

Če $C_0 = \hbar = 1$ dobimo ravni val:

$$\psi = N e^{-ipx} \dots \text{ravni val}$$

To lahko reši K-G enačbo in dobimo ven Einsteinovo enačbo za prosti delec.

$$E^2 = p^2 + m^2$$

Kompleksno konjugirano pa je

$$\psi^* = N e^{ipx}$$

\Rightarrow

$$\frac{\partial \psi}{\partial t} = -iE \psi$$

$$\frac{\partial \psi^*}{\partial t} = +iE \psi^*$$

Damo v ~~Schrödingerje~~ enačbo za ρ :

$$\rho = i(|N|^2(-iE) - 2) = \mathbf{2E|N|^2}$$

$$E < 0!$$

To nam da normalizacijo rel. faznega prostora.

Lani pri mafiji:

$$\int d^3p \delta(p^2 - m^2)$$

$$dE d^3p \delta(E^2 - \vec{p}^2 - m^2)$$

$$E = \sqrt{p^2 + m^2}$$

$$\int \frac{d^3p}{2E}$$

$$\rightarrow E = \sqrt{p^2 + m^2}$$

$$\rho < 0!$$

To je problem K-G enačbe

$$\int \frac{d^3p}{2E}$$

To so popravili z

Diracovo enačbo. Ugotovili

so da $\rho < 0$ za K-G

pomeni nabite deke.

Rešimo & če interpretiramo

$$\rho = \text{Verjet. gost.} \cdot \text{naboj}$$

Stacionarne rešitve K-G enačbe

$m=0$; Rotacijska simetrija (točast izvor)

$$\Delta u = \nabla^2 u \quad \text{v sferičnih}$$

$$\Rightarrow \text{sf. koordinat: } \frac{1}{r^2} \frac{\partial}{\partial r} \left(r^2 \frac{\partial u}{\partial r} \right) = 0$$

$$u(r) = \frac{g}{r} \rightarrow \text{Dolg doseg}$$

Recimo foton (el. interakcija) $m_\gamma = 0$ ima: $g = \frac{e^2}{4\pi\epsilon_0} = \alpha \quad (\hbar=c=1)$

Funkcija stanja \equiv Potencial za druge delce

γ predstavlja bare potencial, ki ga "vidijo" drugi delci

Iz tega sledi, da imamo zvezo med $m_\gamma = 0$ in dosegom interakcije $\sim 1/r$ (dolga doseg)

Recimo $m \neq 0$

$$\Rightarrow \frac{1}{r^2} \frac{\partial}{\partial r} \left(r^2 \frac{\partial u}{\partial r} \right) = m^2 u ; u = u(r)$$

$$\Rightarrow u(r) = \frac{g}{r} e^{-r/R} ; R = \frac{1}{m} = \frac{\hbar}{m c_0} \sim \lambda_c = \frac{\hbar}{m c_0}$$

λ_c dolga razdalja za doseg

Kratek doseg sile

Zgodovina: Sila med nukleoni (?)

je obrat Hideki Yukawa

Če bi ocenili za maso nosilca sile:

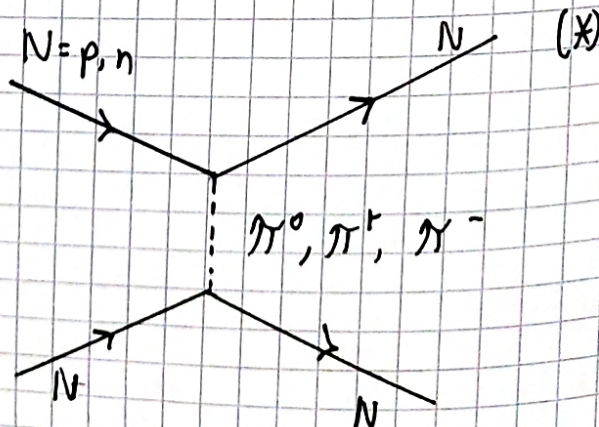
Masivni

nosilci

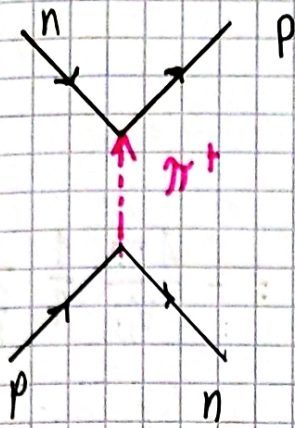
interakcije

$$m = \frac{1}{R} \Rightarrow m c_0^2 = \frac{\hbar c_0}{R} = \frac{200 \text{ MeV fm}}{2 \text{ fm}} = 100 \text{ MeV}$$

Prost $m_\pi \approx 100 \text{ MeV}$



Npr.



"Who ordered that?"
Isidor Isaac Rabi
ob odkritju miona

Pogledali so več interakcij in so odkrili še en lepton μ $m_\mu = 104$, kasneje pa za to odkrijejo pion $m_\pi \sim 139 \text{ MeV}/c^2$. Vedli so da je to že "ekvivalentna" interakcija

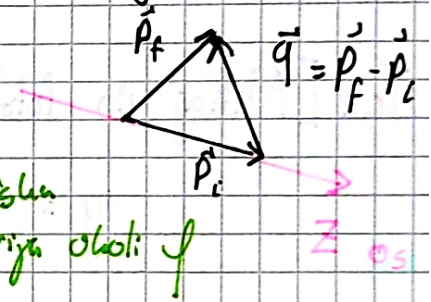
Ocena preseka za reakcijo z Yukawinim potencial

Zanima nas presek za sliko (*). Recikliramo EM sipanje:

$$V_{fi} = \frac{1}{V_N} \int e^{i\vec{q} \cdot \vec{r}} V_\pi(\vec{r}) d^3r$$

$$d^3r = r^2 dr \sin\theta d\theta \cdot (2\pi)$$

Rotacijska simetrija okoli z



Postavimo koordinatni sistem, da je

$$\vec{q} \cdot \vec{r} = qr \cos\theta$$

Potencial pa je:

$$V_\pi(r) = u(r) = \frac{g}{r} e^{-r/R}$$

Moramo zmleči izlaz

$$V_{fi} = \frac{2\pi g}{V_N} \int_0^\infty r^2 dr \int_0^\pi \sin\theta d\theta e^{iqr \cos\theta} \cdot \frac{1}{r} e^{-r/R}$$

Integrirajmo:

$$V_{fi} = -\frac{4\pi g}{V_N} \int_0^{\infty} r e^{-r/R} \frac{\sin(qr)}{qr} dr$$
$$= -\frac{4\pi g}{V_N} \int_0^{\infty} e^{-r/R} \frac{\sin(qr)}{q} dr = -\frac{4\pi g}{V_N} \frac{1}{q} \frac{q}{R^2 + q^2}$$

Laplaceova transformacija

$$\Rightarrow V_{fi} \sim g \frac{1}{m^2 + q^2}$$

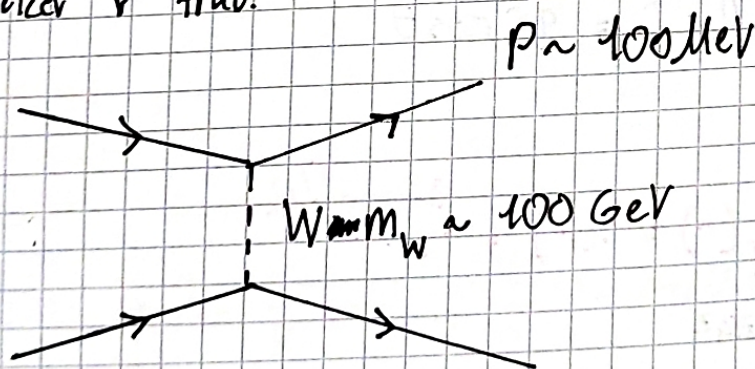
Torej velja:

$$\mathcal{B}(NN \rightarrow NN) \sim |V_{fi}|^2 \sim \frac{g^2}{(m^2 + q^2)^2}$$

Test [Nazaj na foton $m=0$ in EU]

$$g = \frac{e^2}{4\pi\epsilon_0} \Rightarrow \mathcal{B} \sim \frac{(e^2)^2}{q^4} \checkmark \text{ Se sklada z Rutherford ipd.}$$

Poglejmo si še limito $|q^2| \ll |m^2|$ masiven nosilec interakcije glede na kinetične energije delcev v trku.



To se dejansko dogaja (Šibka sila!). Torej:

$$\mathcal{B}_W = \frac{g_W^2}{(m_W^2)^2} = G_F^2$$

iz standardnega modela dobimo (ste po bomo vrjeli):

$$g_W = e (\sin \theta_W)^{-1}$$

$$g_W^2 = e^2 (\sin^2 \theta_W)^{-1} \sim \alpha (\sin^2 \theta_W)^{-1} \sim \frac{1}{137} (0,23)^{-1} = 4\alpha$$

Izmerjeno **Ni** **Majhen**

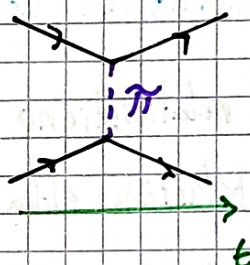
$$g_W^2 \sim 0,1$$

$M_W = 80,3 \text{ GeV}$ merjeno G_F :

$$\frac{0,1}{(80,3)^4} \ll 1 \Rightarrow G_F^2$$

Torej je šibka sila šibka, ker 15c "žoga" z težimi nosilci.

Ker smo recitirali: em interakcija: sipanje (odboj)



Dodatno smo privzeli elastično sipanje $E_i = E_f$

$$\vec{q} = \vec{p}_f - \vec{p}_i$$

$$\left. \begin{aligned} p_f^\mu &= (E_f, \vec{p}_f) \\ p_i^\mu &= (E_i, \vec{p}_i) \end{aligned} \right\} q^\mu = (0, \vec{q})$$

Virtualni nosilec interakcije

$$q^\mu q_{,\mu} = Q^2 = 0 - q^2$$

$$Q^2 = -q^2 < 0 \quad \blacktriangleright$$

Torej je potencial

$$V_{fi} = \frac{g}{-Q^2 + m^2}$$

OZ lepše (definiramo tako):

$$V_{fi} = \frac{g}{Q^2 - m^2}$$

Lorentz invariantno in pripravljeno za relativnost

$\frac{1}{Q^2 - m^2}$ - Propagator
 v Feynmanovem diagramu
 in matricnem elementu

Propagatorju se pravi tudi:

t-channel

$$t = (P_f^\mu - P_i^\mu)^2 = Q^2$$

$$V_{fc} = (\sqrt{g})^2 \left(\frac{1}{Q^2 - m_\pi^2} \right)$$

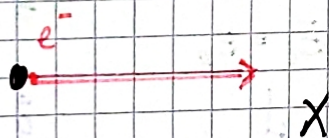
Propagator je ekvivalent Greenovi funkciji, ki pove časovni razvoj iz začetnega v končno stanje

Nekaj več o sklopitvenih konstantah (α , α_w , α_s)

V resnici počnemo relativistično

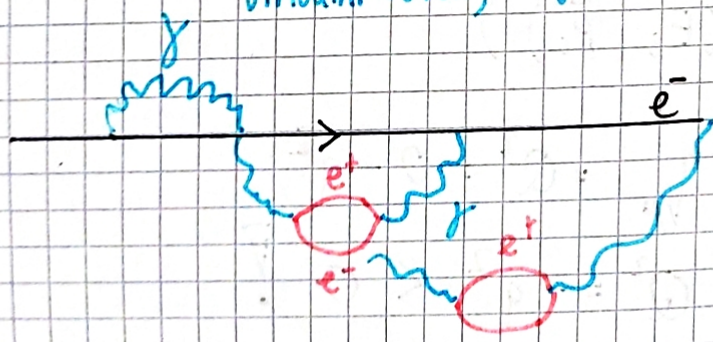
$\frac{1}{100}$ $\frac{1}{10}$ 1 Za nizke En.

kvantno mehaniko. Klasična slika da je elektron kroglica, ki leti ni duha.



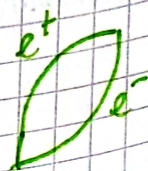
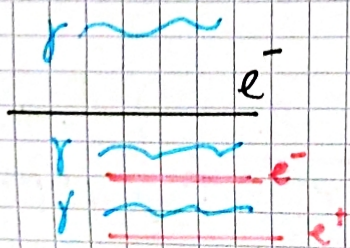
V relativistični kvantni mehaniki:

virtualni foton; $m_\gamma^2 = Q^2 \neq 0$ Živi čas $Z \sim \frac{\hbar}{\sqrt{Q^2}}$



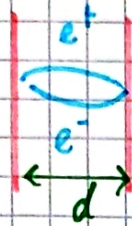
Ob času t je elektron "sluht" v oblaku γ in e^+e^-

Zu Zraven: tudi v realno

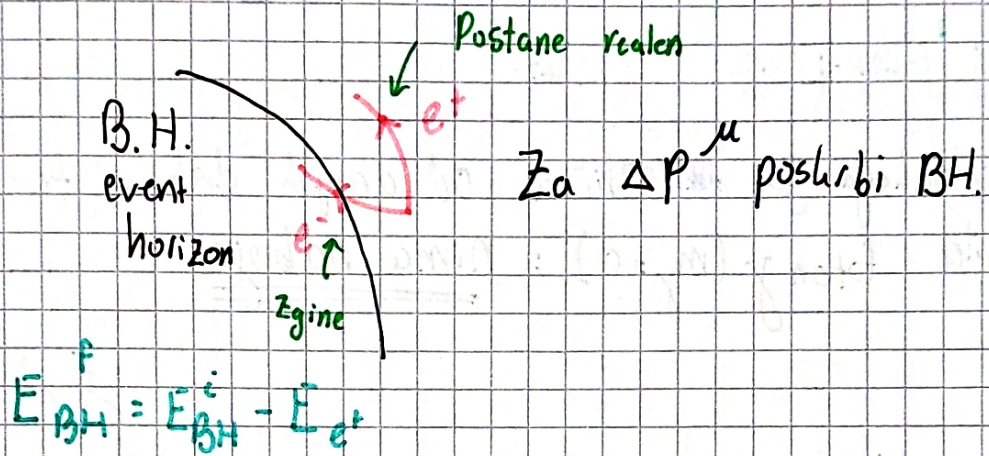


Nastajanje parov v vakuumu lahko dejansko izmerimo preko Casimirjevega

Casimirjevega Pojava



Drugi način je pa preko Hawking sevanja. Črne luknje sevajo



Back to dressed particles. Virtualne delce lahko zaznamo, ko hočemo zadeti elektron in trčimo v nek npr. foton. Delec bi trčil da fotonu dovolj E in GK , da v gre on-shell in postane realen. Ivesar Teorija je DGLAP.

Oblacenje v virtualne delce: Polarizacija/ščenje vakuuma

↳ Blizje ko pridemo, večji bo vidni naboj

↳ Izstrelek z večjim p^μ (oz. ∞) nam omogoči priti blizje.

Izmerimo running coupling odvisnost

$$\alpha(E)$$

Sklopitvena konstanta ni konstanta

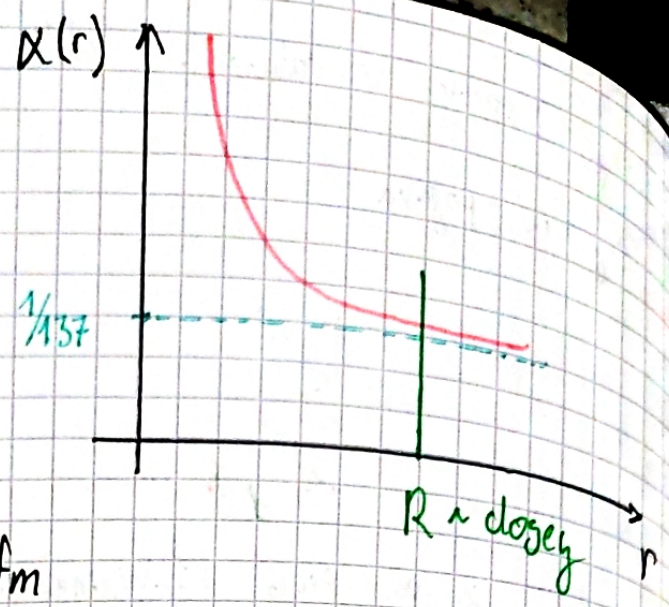
I

$$\gamma = \frac{h}{\Delta E}$$

$$R = c \cdot \gamma = \frac{ch}{\Delta E}$$

$$\Delta E = 2m_e c^2 \approx 1 \text{ MeV}$$

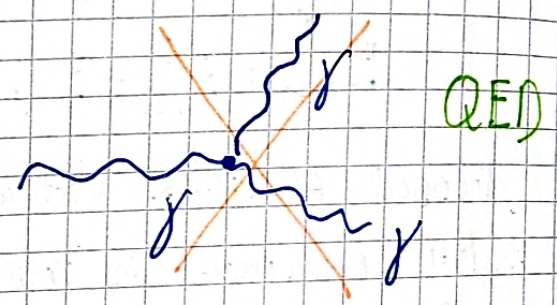
$$\Rightarrow R = \frac{200 \text{ MeV fm}}{1 \text{ MeV}} \sim 200 \text{ fm}$$



Naprej 'slabopitvene' 'konstante'

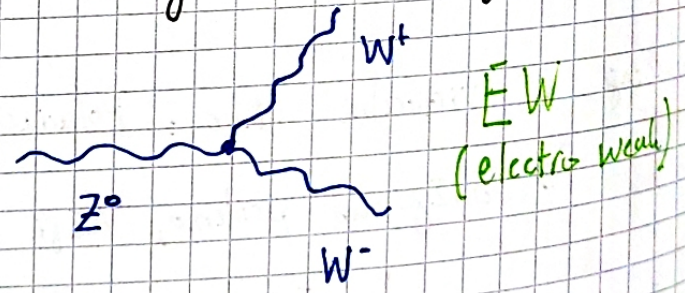
1.) EM interakcija je ~~različna~~ različna od drugih dveh v tem, da nosilec foton γ ($m_\gamma = 0$): nima naboja

Niso možne reakcije:

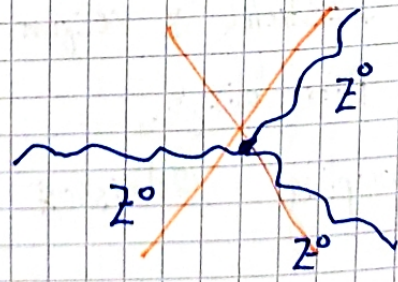


2.) Šibka sila ima za nosilce šibke bozone (W^+, W^-, Z^0), ki imajo maso ($m_W = 80,3 \text{ GeV}; m_Z = 91,1 \text{ GeV}$) in nosijo šibki naboj.

Torej je možno:

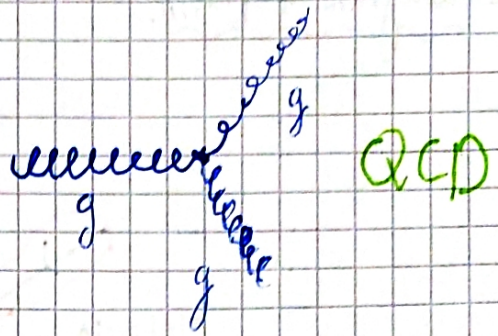


Ni pa dovoljena:



3.) Močna sila ima za nosilec gluone g ($m_g = 0$), ki imajo barvni naboj.

Možne so take interakcije:



Feynmanovi diagrami

Ponovitev: Kontinuitetna enačba relativistično

$$\partial^\mu = \left(\frac{\partial}{\partial t}, -\vec{\nabla} \right) \rightarrow \partial^\mu = g^{\mu\nu} \partial_\nu; \quad g^{\mu\nu} = \eta^{\mu\nu} = \begin{pmatrix} 1 & & & \\ & -1 & & \\ & & -1 & \\ & & & -1 \end{pmatrix}$$

$$\partial_\mu = \left(\frac{\partial}{\partial t}, +\vec{\nabla} \right) \rightarrow$$

$$\Rightarrow j^\mu = (j, \vec{j})$$

To velja za K-G enačbo!

$$\Rightarrow \partial_\mu j^\mu = \frac{\partial \rho}{\partial t} + \vec{\nabla} \cdot \vec{j} = 0$$

$$\Delta = \nabla^2 \rightarrow \square$$

Za ravninski val:

$$\psi = N e^{-ipx}$$

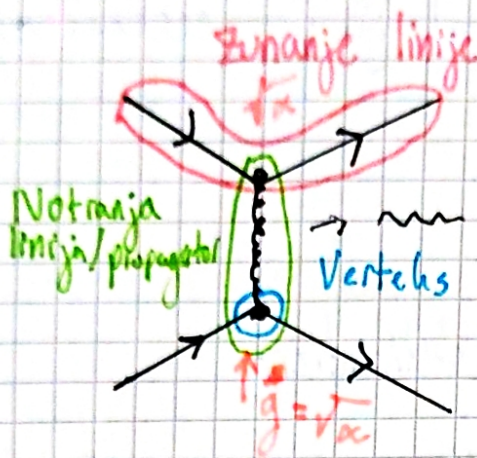
$$p \cdot x = p^\mu x_\mu = Et - \vec{p} \cdot \vec{r}$$

$$j^\mu = 2|N|^2 p^\mu = 2|N|^2 (E, \vec{p})$$

$$\langle V_{fi} \rangle = M_{fi} = M_1(\alpha^1 = g^2) + M_2(\alpha^2 = g^4) + M_3(\alpha^3 = g^6) \dots$$

Hočemo tako perturbativno vrsto in upamo, da je potenčna vrsta (kjer višji redi vedno puščajo). To pomeni, da hočemo, da konvergira za $\alpha < 1$. Prvi vodilni red (prva nen ničelna vrednost) se označi LO (Leading order), naslednja dva sta (Next to leading order) NLO in NNLO (next to next to leading order).

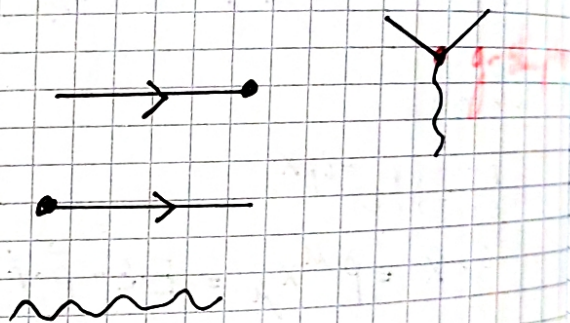
Feynman ugotovi, da se lahko M_i dobi člene vrste dobi
 z diagrami + pravili.



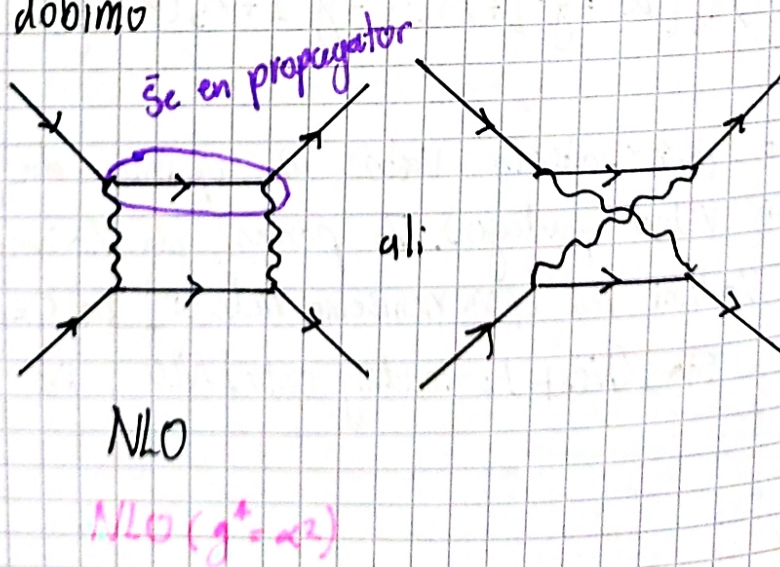
Zunanje linije določajo začetno in končno stanje. LO dobimo z
 zmožkom vseh verteksov.

Teorija dobica dovoljene vertekse in pravila za njih, propagatorje in
 zunanje linije in pravila za vse te.

- Zunanja linija v verteks
- Zunanja linija iz verteksa
- Propagator



V naslednjem redu dobimo



V vsakem verteksu se ohranja $P^\mu = (E, \vec{p})$

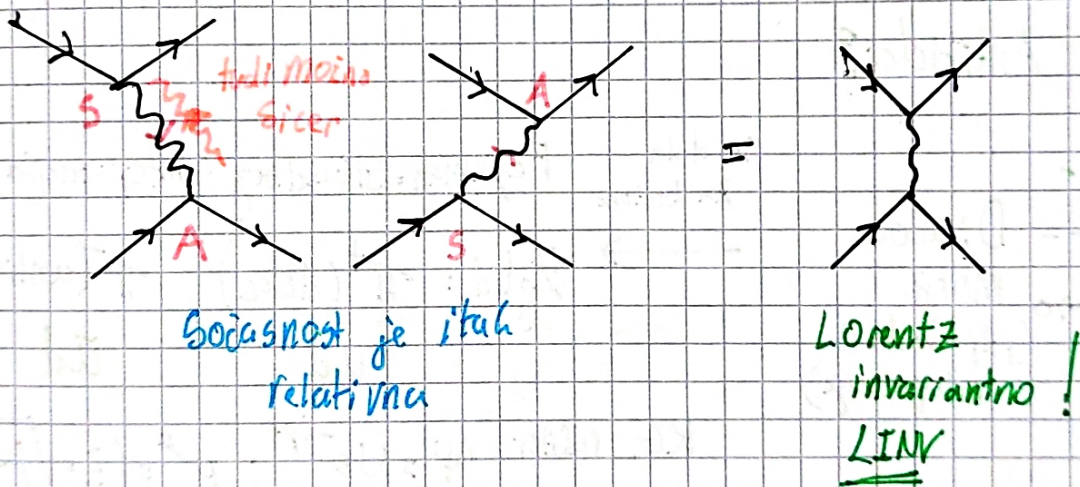
$$\delta^{(4)}\left(\sum_{in} p^\mu - \sum_{out} p^\mu\right)$$

Na tih to pomeni, da imamo v vsakem verteksu še en virtualni delca.


Vse zunanje linije predstavljajo realne (on-shell) in prost delce (vrstni val).
Tipično 60 notranje linije / propagatorji: virtualni delci.


Smer časa pri diagramih ali \rightarrow ali \uparrow . Bodi pozoren, ker lahko napačno prebrano OS predstavlja potem drugo reakcijo.


Virtualni delci / propagatorji so že vsota možnih časovnih poteh (sevanje / absorpcija)




Standardne oznake glede na SM

 Spin $\frac{1}{2}$: Fermion

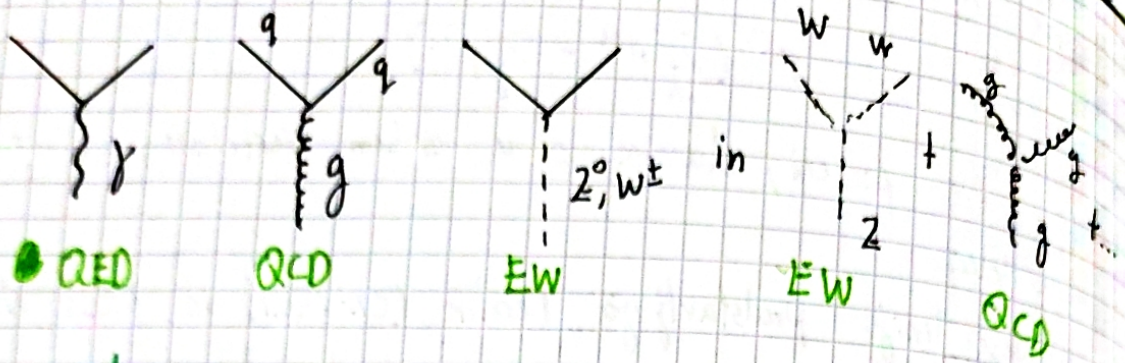
 Spin 1: Foton [časih tudi drugi bozoni]

 Spin 1, 0: $S=1$ sibi bozoni, $S=0$ Higgsov bozon

 Gluoni

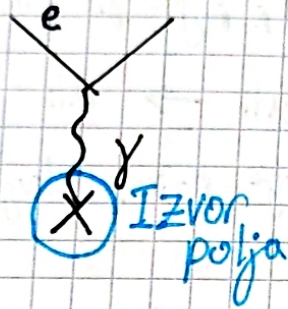
Paket
TIKZ
za risanje v
Latexu

Verteksi:



Interakcija z poljem:

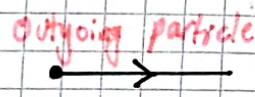
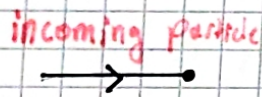
IZVOR polja
(Zunanje polja)



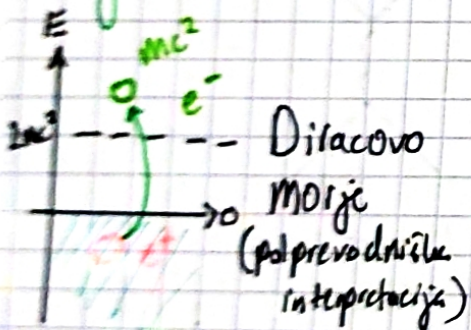
MADGRAPH
za kombiniranje
in matrični element

Zunanji delci:

Usmerjene linije



Kaj z Antidelci?



Ne dela
za bozone

Feynman-Stüdelburg interpretacija

Zgled: π^+ (delec) π^- (antidelec)
 $u\bar{d}$ $\bar{u}d$

KG. rešitev $\psi = N e^{-ipx}$; $p^\mu = (E = \sqrt{\vec{p}^2 + m^2}, \vec{p})$

Verjetnostni tok:

$$j^\mu = 2|N|^2 p^\mu$$

↓ električni tok

$$j_e^\mu(\pi^+) = (+e_0) j^\mu = 2e_0 |N|^2 p^\mu$$

Za π^- pa:

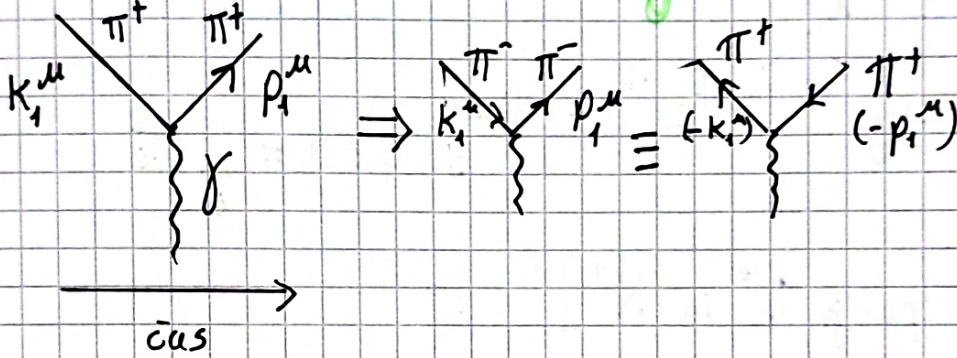
$$j_e^\mu(\pi^-) = (-e_0) j^\mu = (+e_0)(j^\mu) = e_0 (2|N|^2)(-p^\mu) = 2e_0 |N|^2 (-E, -\vec{p})$$

Fig. 11: Sevanje (absorpcija) anti delca z G.K. p^μ je fizikalno
 ekvivalentna absorpciji (Sevanju) delca z G.K. $(-p^\mu)$

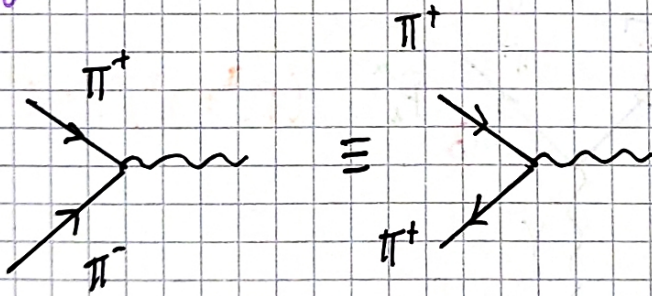
02.
 Pozitivne rešitve anti delca ($p^\mu > 0$), ki se giblje naprej po času so
 enaki ekvivalentne negativnim ($-p^\mu$) rešitvam delca, ki se giblje nazaj
 v času.

"Antidelci so delci, ki se gibljejo nazaj v času"

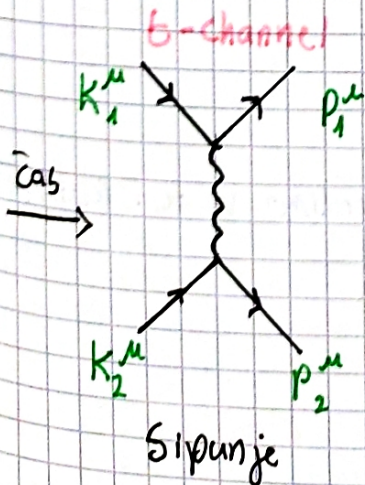
⊕ Dodatno: Fermioni se transformacija spina



Anihilacija



Osnovne $2 \rightarrow 2$ topologije

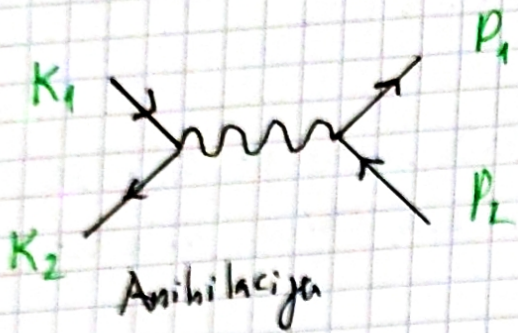


$$t = (p_1 - k_1)^2 = (p_2 - k_2)^2$$

$$q^2 \text{ ali } Q^2$$

$$t < 0 \text{ (sipanje)}$$

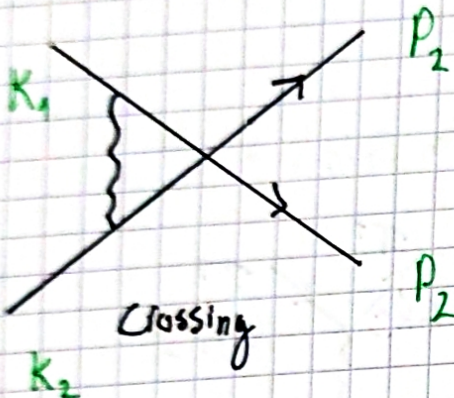
S-channel



$$s = (k_1 + k_2)^2 = (p_1 + p_2)^2$$

Center of mass energy CME or \sqrt{s}

U-channel



$$u = (p_1 - k_2)^2 = (p_2 - k_1)^2$$

u, t, s Mandelstam variables

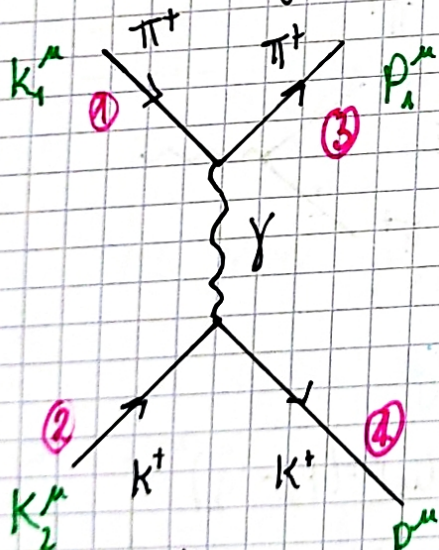
Velja:

$$s + t + u = \sum_i m_i^2$$

musi veck dolo
v katerikoli
realizaciji

Zgled: [EM sipanje π^+ in K^+]

Ker je ~~spin 0~~ spin 0 lahko shajamo z K-G enačbo.



$$(\square + m^2)\psi = 0$$

Podobno kot pri sevanju γ ($\hat{p} \Rightarrow \hat{p} + e\hat{A}$) $\vec{\nabla} \Rightarrow \vec{\nabla} + i e \vec{A}$) prevedimo v tem relativističnem

recept:

$$\partial_\mu \rightarrow D_\mu = \partial_\mu + i e A_\mu$$

$$\square = \partial_\mu \partial^\mu \rightarrow D_\mu D^\mu$$

$$(\square + m^2)\Psi = -ie(\partial_\mu A^\mu + A^\mu \partial_\mu)\Psi + \dots \cancel{A^2 e^2} \dots$$

Popravak
u prosti
rešitvi!

$$-\hat{V}\Psi$$

interakcija z poljem

Kot pri γ višje členu

Zanemarimo

$\Rightarrow M_{fi} = \frac{1}{i} \int d^4x \Psi_f^* \hat{V} \Psi_i$

kot 1. približek
v Fockovi iteraciji:

0-ta rešitev: $(\square + m^2)\Psi = 0$

$\hookrightarrow \Psi_1 = N_1 e^{-ik_1 x}, \Psi_2, \dots$ (ravninski valovi)

1-red perturbacij: Dobimo M_{fi}

$q^\mu = k_1^\mu - p_1^\mu$

$M_{fi} = \frac{1}{i} \int \Psi_3^* \hat{V} \Psi_1 d^4x$
 $\gamma_{12} k^\mu$

$M_{fi} = e \int d^4x [(-\partial_\mu \Psi_3^*) \Psi_1 + \Psi_3^* (\partial_\mu \Psi_1)] A^\mu$

Podobno verjetnostnemu
skolu

$j^\mu(\Pi^+) = ie [\Psi_3^* (\partial_\mu \Psi_1) - (\partial_\mu \Psi_3^*) \Psi_1]$

\rightarrow Verjetnostni tok med

$\Psi_3^* \leftrightarrow \Psi_1$

Transition current / Prehodni tok med začetnim Ψ_i in koninim stanjem Ψ_f .

$\Rightarrow M_{fi} = -i \int j^\mu(\Pi^+) A^\mu d^4x$

Analogno lahko napišemo

$j^\mu(k^+) = ie [\Psi_4^* (\partial^\mu \Psi_2) - (\partial^\mu \Psi_4^*) \Psi_2]$

Manjka nam še zveza z A^μ . Iz elektromagnetizma imamo:

$$\square^2 = 0$$

$$\square^2 A^\mu = j^\mu$$

Nehomogena
valovna enačba

$$\partial_\mu A^\mu = 0 \quad \frac{\partial U}{\partial E} + \vec{\nabla} \cdot \vec{A} = 0 \quad (\text{Lorentz gauge})$$

$$A^\mu = -\frac{1}{q^2} j^\mu(k^\dagger) \Leftrightarrow \square \frac{e^{iqx}}{q^2} = -q^2 e^{iqx}$$

Preprosto preiz
da res velja

Torej:

$$M_{fi} = +i \int j_\mu(\pi^\dagger) \frac{1}{q^2} j^\mu(k^\dagger) d^4x$$

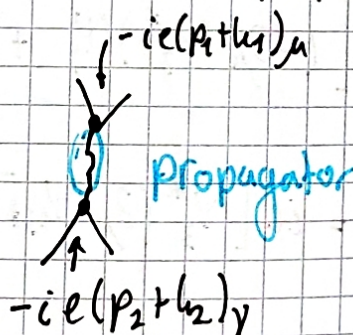
$$M_{fi} = ie^2 N_1 N_2 N_3 N_4 (p_1 + k_1)_\mu (p_2 + k_2)^\mu \cdot \frac{1}{q^2} \int d^4x e^{i(p_1 + p_2 - k_1 - k_2)x} j^\mu(k^\dagger)$$

$$(2\pi)^4 \delta^{(4)}(p_1 + p_2 - k_1 - k_2)$$

Dajmo eksplisitno zapisati propagator:

$$\frac{-i q^{\mu\nu}}{q^2} \rightarrow$$

Vsehemu verteksu pripišemo



V splošnem lahko diferencialni signalni presed zapisemo kot:

$$d\Omega = \frac{|T_{fi}|^2}{4[(k_1 k_2)^2 - m_1^2 m_2^2]} (2\pi)^4 \delta^{(4)}(k_1 + k_2 - \sum_{i=1}^N p_i) \prod_{i=1}^N \frac{d^3 p_i}{2E_i} \frac{1}{(2\pi)^3}$$

relativistični zapis
 $|T_{fi}|^2 \quad g_{\epsilon} \cdot j_{\epsilon} \sim |N_i - N_f|$

celotna ohranitev
E in \vec{p}

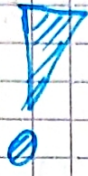
dLips
Lorentz invariant phase space

$\rightarrow M_{fi}$ brez normalizacij

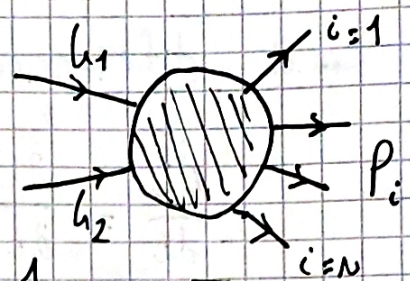
dQ

$$\overline{|T_{fi}|^2} = \frac{1}{S} \sum_{\text{Začetna stanja}} \sum_{\text{končna stanja}} |T_{fi}|^2$$

Povpreči po vseh začetnih stanjih



Vsa končna stanja



Tipično: $\frac{1}{(2S_1+1)(2S_2+1)} \sum_{S_1, S_2}$

Kajantie in Byceling: Particle Kinematics

Simetrije in ohranitveni zakoni

Iščemo količine, ki se s časom ohranjajo... Delali bomo nerelativistično (ampak se iste količine ohranjajo tudi relativistično).

$$i\hbar \frac{\partial}{\partial t} |\Psi(t)\rangle = \hat{H} |\Psi(t)\rangle$$

$\uparrow \hat{H} = \hat{H}^\dagger$ hermitski

Formalna rešitev je

$$|\Psi(t)\rangle = e^{\frac{-i\hat{H}t}{\hbar}} |\Psi(0)\rangle$$

\hat{H} hermitski $\rightarrow U = e^{\frac{-i\hat{H}t}{\hbar}}$; U je unitaren $U^\dagger U = I$

Opazljivka D z operatorjem \hat{D} se s časom ohranja če velja

$$\langle \Psi(t) | \hat{D} | \Psi(t) \rangle = \begin{cases} \langle \Psi(0) | \hat{D} | \Psi(0) \rangle = D_0 \\ \langle \Psi(0) | U^\dagger \hat{D} U | \Psi(0) \rangle \end{cases} |\Psi(t)\rangle$$

$$\Rightarrow U^\dagger \hat{D} U = D_0 / U \cdot \text{in} \cdot U^\dagger$$

$$\hat{D} = U D_0 U^\dagger \} \text{Standardna transformacija operatorja}$$

To enačbo diferenciramo:

$$\begin{aligned}\frac{d\hat{D}}{dt} &= \frac{\partial U}{\partial t} D_0 U^\dagger + U D_0 \frac{\partial U^\dagger}{\partial t} + 0 = \dots \\ &= \left(-\frac{i\hat{H}}{\hbar}\right) U D_0 U^\dagger + U D_0 \left(+\frac{i\hat{H}}{\hbar}\right) U^\dagger\end{aligned}$$

$$\frac{d\hat{D}}{dt} = -\frac{i}{\hbar} \left(\hat{H} \underbrace{U D_0 U^\dagger}_{\hat{D}} - \underbrace{U D_0 U^\dagger}_{\hat{D}} \hat{H} \right) = -\frac{i}{\hbar} [\hat{H}, \hat{D}] = 0$$

Časovno neodvisno

Torej vse ohranjene količine komutirajo s Hamiltonianom.

Zgled: [Ohranitev vrtilne količine]

Vzamemo $\hat{J}_z = \hat{J}_3$. Velja $[\hat{H}, \hat{J}_z] = 0$ (npr. vodikov atom, jedra, ...)

Spomni se: \hat{J}_z je generator rotacij. Unitarni zapis je:

$$U(\hat{J}_z, t) = e^{-\frac{i\hat{J}_z t}{\hbar}} \quad \forall t$$

$$\psi \rightarrow \psi' = U\psi$$

Ohranjanje dveh vrst količin:

- Diskretne količine

- parnost
- naboj, ...

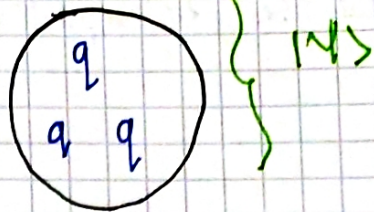
- Zvezne količine

- P
- J
- E, ...

Ena količina ~~je~~ li naj bi se ohranjala je Barionsko število.

Zgled [Barionsko število]

Barioni so sestavljeni iz 3 kvarkov. Imajo kvantno število $B=1$. Temu pripada simetrijska

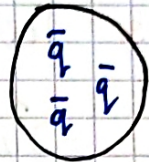


$$U = e^{i\hat{B}\theta}$$

Domišljiska latica/lot (ker ni fizikalno ampak je to nekakšna situacija v prostoru parametrov).

$$\hat{B}|\Psi\rangle = B|\Psi\rangle = 1 \cdot |\Psi\rangle$$

Anti delci se lahko bežajo v stanje treh kvarkov: anti kvarkov \rightarrow antibaron. Te imajo $B=-1$



$$\hat{B}|\bar{\Psi}\rangle = B|\bar{\Psi}\rangle = (-1)|\bar{\Psi}\rangle$$

Mezoni (vezana $q\bar{q}$) je $B=0$. Leptoni $B=0$.

Danes imamo Barionsko število na nivoju kvarkov

$$\left. \begin{aligned} q &: B = +\frac{1}{3} \\ \bar{q} &: B = -\frac{1}{3} \\ L &: B = 0 \end{aligned} \right\}$$

Hadroni: Barioni + Mezoni

$$\left. \begin{aligned} qqq & & q\bar{q} \\ 3 \cdot \frac{1}{3} & & \frac{1}{3} - \frac{1}{3} \end{aligned} \right\}$$

Udela so, če so reakcije tipa $PP \rightarrow PP \quad P\bar{P}$ } To so izmerili

$$\left. \begin{aligned} B: 1+1 & & B: 1+1 & 1-1 \\ 2 & & 2 & \checkmark \end{aligned} \right\}$$

$PP \rightarrow P\bar{P} \quad \pi^+ \pi^-$ } Tega niso izmerili

$$\left. \begin{aligned} B: 1+1 & & B: 1-1 & 0+0 \\ 2 & & 0 & // \end{aligned} \right\}$$

Intermezzo: Ohranitev leptonskega števila

- Leptoni $L = 1$
- Antileptoni $L = -1$
- Ostali $L = 0$

Ekperimenti s kvarkami so praverjali

$PP \rightarrow e^+e^-$ } Te niso opazili

$$\left. \begin{aligned} L: 0+0 & & L: -1-1 // \end{aligned} \right\}$$

$e^+e^- \rightarrow \nu^+ \nu^-$ } To so opazili

$$\left. \begin{aligned} L: -1+1 & & L: -1+1 \checkmark \end{aligned} \right\}$$

- stvar se zakomplicira :

$$\nu_{\mu} n \rightarrow p \mu^{-} \quad \left. \begin{array}{l} L: 1+0 \quad L: 0+1 \checkmark \\ B: 0+1 \quad B: 1+0 \checkmark \end{array} \right\} \text{To reakcije so opuzili}$$

ampaki

$$\nu_{\mu} n \rightarrow p e^{-} \quad \left. \begin{array}{l} L: -1- \\ B: -1- \end{array} \right\} \text{Ampaki te pa niso opuzili}$$

se ohrani \checkmark

Vpeljati moramo še leptonsko število po okusih: L_e, L_{μ}, L_{τ}

medtem L_{μ}

$$\nu_{\mu} n \rightarrow p e^{-}$$

$$\begin{array}{l} L_{\mu}: 1+0 \rightarrow 0+0 \quad // \\ L_e: 0+0 \rightarrow 0+1 \quad // \end{array} \quad \left. \begin{array}{l} \\ \\ \end{array} \right\} \text{lahko razloži odsotnost razpada}$$

$$\nu_{\mu} n \rightarrow p \mu^{-}$$

$$L_{\mu}: 1+0 \rightarrow 0+1$$

Ishali so še reakcije tipa:

$$\mu^{-} \rightarrow e^{-} \gamma$$

$$\cancel{\mu} \cancel{e} \rightarrow // \quad \left. \begin{array}{l} \\ \end{array} \right\} \text{Je tudi niso zane opuzili}$$

$$\pi^{+} \rightarrow \mu^{+} \nu_{\mu} \quad \left. \begin{array}{l} \\ \\ \\ \end{array} \right\} \text{To so opuzili}$$

$$\begin{array}{l} B: 0 \rightarrow 0+0 \\ L_{\mu}: 0 \rightarrow -1+1 \\ L: 0 \rightarrow -1+1 \end{array}$$

Recimo v GUT je pa $B-L$ "dobro" kvantno število.

$$p \rightarrow e^{+} \pi^{0} \quad \left. \begin{array}{l} \\ \\ \\ \end{array} \right\} \text{To reakcija iščemo}$$

$$\begin{array}{l} B: 1 \rightarrow 0+0 // \\ L: 0 \rightarrow -1+0 // \\ B-L: 1 \rightarrow 1+0 \checkmark \end{array} \rightarrow \text{S stabilizira GUT je to mogoče}$$

$$\tau_p > 10^{34} \text{ let } @95\% \text{ CL}$$

Intermezzo: [Permutacijska simetrija funkcij stanja 2 veči delci]

$N = 2$: Enodelčna stanja f_a, f_b

Sim: $\Psi_S(1,2) = \frac{1}{\sqrt{2}} [f_a(1)f_b(2) + f_a(2)f_b(1)]$

$\Psi_S(1,2) = \Psi_S(2,1) \rightarrow$ *Netočljiva delca 1,2*

ASim: $\Psi_A(1,2) = \frac{1}{\sqrt{2}} [f_a(1)f_b(2) - f_a(2)f_b(1)]$

$\Psi_{SA}(1,2) = -\Psi_A(2,1) \dots$ Fermioni: morajo biti v stanju Ψ_A

(če je $a=b \Rightarrow \Psi \equiv 0$) *Paulijeva prepoved!*

To velja za vsak sistem z N fermioni:

$$\Psi_A(1, \dots, N)$$

Izospin

Sestavljajmo zdaj Barione:

$N=3$ kvarki (u, d, s) : $3^3 = 27$ kombinacij

Uvedemo novo kvantno število (strong) izospin.

Delca Ψ , ki je v stanjih

$|I = \frac{1}{2}, I_3 = \frac{1}{2}\rangle = |p\rangle$

$|I = \frac{1}{2}, I_3 = -\frac{1}{2}\rangle = |n\rangle$

Izospinorji:

$\begin{pmatrix} 1 \\ 0 \end{pmatrix} = |p\rangle$

$\begin{pmatrix} 0 \\ 1 \end{pmatrix} = |n\rangle$

je dobro kvantno število za jedrsko/močno interakcijo.

\rightarrow Različna stanja okusa delcev (flavor)

$I_3 = \frac{1}{2}(2-N)$ v enoti jadra

$$[\hat{H}, \hat{I}_3] = 0$$

Za naboj

$$Q = I_3 + \frac{1}{2}$$

Lahko uporabimo spinski formalizem (Ladder operators, ...)

$$I_3 |p\rangle = \frac{1}{2} |p\rangle$$

$$I_3 |n\rangle = -\frac{1}{2} |n\rangle$$

$$\rightarrow I_+ |p\rangle = 0 \quad I_- |p\rangle = |n\rangle$$

$$I_+ |n\rangle = |p\rangle \quad I_- |n\rangle = 0$$

To se lahko prevede v kvarkovsko sliko:

$$I_3 |u\rangle = +\frac{1}{2} |u\rangle \quad u: I = \frac{1}{2}, I_3 = \frac{1}{2}$$

$$I_3 |d\rangle = -\frac{1}{2} |d\rangle \quad d: I = \frac{1}{2}, I_3 = -\frac{1}{2}$$

in seveda

$$I_- |u\rangle = |d\rangle$$

$$I_+ |d\rangle = |u\rangle$$

Uporabimo sedaj to mašinerijo.

Sistematična konstrukcija Barionskih stanj

Uganemo lahko $\Psi_{S1} = |uuu\rangle$

$\Psi_{S2} = |ddd\rangle$

$\Psi_{S1} = |uuu\rangle$

$\Psi_{S2} = |ddd\rangle$

$$I_- = \sum_{i=1}^3 I_{-i}$$

$$\hat{I}_- |uuu\rangle = |duu\rangle + |udu\rangle + |uud\rangle$$

$$\Psi_{S3} = \frac{1}{\sqrt{3}} (|duu\rangle + |udu\rangle + |uud\rangle)$$

$$\hat{I}_+ |ddd\rangle = |udd\rangle + |dud\rangle + |ddu\rangle$$

$$\Psi_{S4} = \frac{1}{\sqrt{3}} (|udd\rangle + |dud\rangle + |ddu\rangle)$$

Dodamo še kvark. s

$$|S\rangle = |I=0, I_3=0\rangle$$

Tega ni šlo obravnavati z izospinom. Vpeljali so čudnost (strangeness)

$$S = -1 \quad \text{za } |S\rangle$$

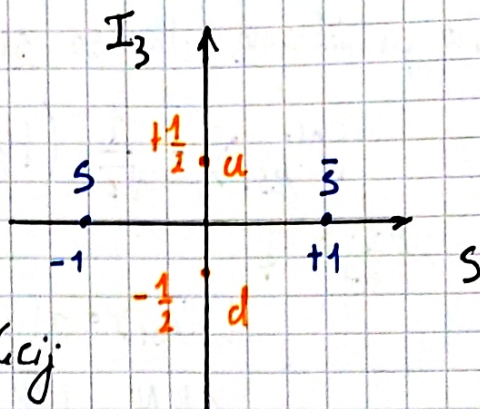
$$S = +1 \quad \text{za } |\bar{S}\rangle$$

$$U = e^{iS\theta}$$

Čudni kvark je bil najden pri reakciji

$$N^p \rightarrow K^0 \Lambda^0$$

$$S: 0+0 \quad S: 1-1$$



Čudnost se ohranja pri močnih in EM interakcijah

Ne pa pri šibkih.

Zamenjajemo kvark z S:

$$S: d \rightarrow s \quad \psi_{S5} = \frac{1}{\sqrt{3}} (|suu\rangle + |usu\rangle + |uus\rangle)$$

$$S: u \rightarrow s \quad \psi_{S6} = \frac{1}{\sqrt{3}} (|sdd\rangle + |dsd\rangle + |dds\rangle)$$

$$S: u \rightarrow s \quad 2x \quad \psi_{S7} = \frac{1}{\sqrt{6}} (|dus\rangle + |dosu\rangle + |sdu\rangle + |lds\rangle + |sud\rangle + |usd\rangle)$$

$$\psi_{S8} = \frac{1}{\sqrt{3}} (|sus\rangle + |uss\rangle + |ssu\rangle)$$

$$\psi_{S9} = \frac{1}{\sqrt{3}} (|sds\rangle + |ssd\rangle + |dss\rangle)$$

$$\psi_{S10} = |SSS\rangle$$

To je deuplet
simetričnih stanj olusa

Ostane nam še $27 - 10 = 17$ stanj. Ne bomo vseh napisali. Popolnoma antisimetrično stanje je samo eno:

$$\psi_{A1} = \frac{1}{\sqrt{6}} (|uds\rangle - |dus\rangle + |usd\rangle - |dsu\rangle + |sud\rangle - |sdu\rangle)$$

Stanje olusa kvarkov

Note: čisto analogno lahko naredimo za QCD

$$\psi_A(QCD) = \frac{1}{\sqrt{6}} (|RGB\rangle - \dots)$$

" u " " d " " s "

Stanja bar kvarkov za vse Barione

Ostala so pa mešana stanja. Lahko so simetrični na izmenjavo dveh kvarkov in antisimetrični na izmenjavo drugih dveh:

$$\psi_{MA1} = \frac{1}{\sqrt{2}} (|udu\rangle - |duu\rangle)$$

anti ↑ anti ↑
sym ↑ sym ↑

$$\psi_{MA8}$$

Lahko pa izberemo, da so si:

$$|\Psi_{MS1}\rangle = \frac{1}{\sqrt{6}} (|udd\rangle + |duu\rangle - 2|uud\rangle)$$

dobimo
kot \downarrow

$$|\Psi_{MS1}\rangle = a|uud\rangle + b|udu\rangle + c|duu\rangle$$

$$\langle \Psi_{MS1} | \Psi_{MS1} \rangle = 1: a^2 + b^2 + c^2 = 1$$

$$\langle \Psi_{MS1} | \Psi_{MS1} \rangle = 0$$

$$\langle \Psi_{MS1} | \Psi_{MS1} \rangle = 0$$

$$\vdots$$

$$|\Psi_{MS8}\rangle$$

Slupna funkcija stanja bariona potem zgleda tako:

Mora biti
antisimetričen

$$\Psi_B$$

$$\Psi(\vec{r})$$

Tipično
simetričen

$$\Psi(\text{spin})$$

Simetrično
mora biti

$$\Psi(\text{okus})$$

antisimetričen
vedno

Možnost: $\Psi_{S1-S16}(\text{okus}) \Psi_{S1-S14}(\text{spin})$ } ustreza spin $\frac{3}{2} = J$

\rightarrow Dekuplet Barionov $J = 3/2$

$$J_z = \frac{3}{2}$$

$$= \frac{1}{2}$$

$$= -\frac{1}{2}$$

$$= -\frac{3}{2}$$

Zgodovinu/ $\Delta^{++} = |uuu\rangle$ - simetričen

Ekspiriment: $J = 3/2$ $|\uparrow\uparrow\uparrow\rangle$ - simetričen

Od tega $\&$ eksperimentalni del Ψ
da mora biti $\Psi_A(\text{okus})$

Mešane kombinacije:

Oktet barionov
z spinom
 $J = \frac{1}{2}$

$$\Psi_{M1} = \Psi_{MS1}(\text{okus}) \Psi_{MS1}(\text{spin}) + \Psi_{MA1}(\text{okus}) \Psi_{MA1}(\text{spin})$$

$$\vdots$$

$$\Psi_{M8} = \Psi_{MS8}(\text{okus}) \Psi_{MS8}(\text{spin}) + \Psi_{MA8}(\text{okus}) \Psi_{MA8}(\text{spin})$$

Hipernubog

Zgodovinsko se ohrani še to kvantno količino:

$$Y = B + S$$

Hipernaboj

Zgodovinsko se ohrani še to kvantno število:

$$Y = B + S$$

↑ čulnost, ne spin

$$Q = I_3 + \frac{B+S}{2}$$

↑ običajni naboj

Ekperimentalen test tega sta magnetna momenta n in p . Teoretično lahko izračunamo:

$$\Psi_p = \Psi_{MS1}(\text{okras}) \Psi_{MS1}(\text{spin}) + \Psi_{MA}(\text{okras}) \Psi_{MA1}(\text{spin}) =$$

Spin = $1/2$

$$= \frac{1}{\sqrt{2}} \left[|udu\rangle - |duu\rangle \right] \left[|\uparrow\uparrow\rangle - |\uparrow\downarrow\rangle \right] +$$

$$+ \frac{1}{\sqrt{6}} \left[|udu\rangle + |duu\rangle - |udd\rangle \right] \left[|\uparrow\uparrow\rangle + |\downarrow\uparrow\rangle - |\uparrow\downarrow\rangle \right] =$$

$$= \frac{1}{\sqrt{18}} \left[2|u\uparrow u\uparrow d\downarrow\rangle - |u\uparrow u\downarrow d\uparrow\rangle + \dots \right]$$

Rabimo še operator magnetnega momenta:

$$\hat{\mu}_i = g_s \frac{e_0 Q_i \hat{S}_i}{2m_i}$$

$$\hat{\mu} = \sum_i \hat{\mu}_i$$

$g_s = 2$ za spin $1/2$ (Fermioni)

\hat{S}_i - spin \rightarrow gledamo \hat{S}_{i2}

m_i - masa kvarka $\sim (m_q \approx \frac{m_u}{3})$

Priljubno

Q_i - delci / taliter ost. naboji

$$Q_i = \begin{cases} Q_u = \frac{2}{3} \\ Q_d = -\frac{1}{3} \end{cases}$$

Tako dobimo:

$$\mu_z \Psi_p = \mu_p \Psi_p$$

$$\Rightarrow \mu_p = \frac{e}{2m_q}$$

Analogno:

$$\mu_n = -\frac{2}{3} \frac{e_0}{2m_q}$$

Da se nam m_q in nekatere merske napake v povezanim eksperimentu polučasajo pogledamo razmerje:

$$\frac{\mu_n}{\mu_p} = -\frac{2}{3}$$

Eksperiment pa nam da:

$$\frac{\mu_n}{\mu_p} \approx -0,685 \Rightarrow \text{Ni slabo ujemanje!}$$

Mezoni: vezana stanja ($q\bar{q}$) $B=0$

Vpeljemo operator konjugacije naboja:

$$\hat{C}: |q\rangle \rightarrow |\bar{q}\rangle$$

$$\hat{C}|q\rangle = \lambda|\bar{q}\rangle$$

$$\hat{C}^2|q\rangle = \lambda\hat{C}|\bar{q}\rangle = |\lambda|^2|q\rangle$$

$$|\lambda|^2 = 1$$

\Leftrightarrow "zrcaljenje"

Izberemo $\lambda = \pm 1$ (odvisno od primera).

Mi si izberimo:

$$\hat{C}|u\rangle = \ominus|\bar{u}\rangle$$

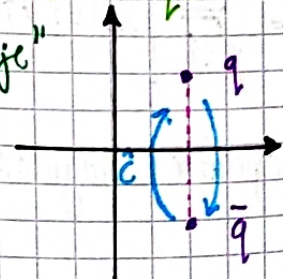
\uparrow izbor / dogovor

$$\hat{C}|d\rangle = +|\bar{d}\rangle$$

Kaj je z izospinom?

$$|u\rangle = |I = \frac{1}{2}, I_3 = +\frac{1}{2}\rangle$$

$$|d\rangle = |I = \frac{1}{2}, I_3 = -\frac{1}{2}\rangle$$



Spomni se vseh teh Zvez:

$$I_3 |u\rangle = +\frac{1}{2} |u\rangle$$

$$I_+ |u\rangle = 0$$

$$I_- |u\rangle = |d\rangle$$

Za anti delce pa!:

→ obrnjen "spin" oz. izospin

$$I_3 |\bar{u}\rangle = -\frac{1}{2} |\bar{u}\rangle$$

$$I_3 |\bar{d}\rangle = +\frac{1}{2} |\bar{d}\rangle$$

$$I_- |\bar{d}\rangle = -|\bar{u}\rangle$$

$$I_+ |\bar{u}\rangle = -|\bar{d}\rangle$$

Mezonski spulter:

Zanimivo z π ($B=0, Y=B+S=0$)

Proti imajo

spin 0

$$|\pi^+\rangle = |u\bar{d}\rangle$$

$I_3 = \frac{1}{2} + \frac{1}{2} = 1$

$$|\pi^+\rangle = |I=1, I_3=+1\rangle$$

$$I_- |u\bar{d}\rangle = \frac{1}{\sqrt{2}} (|d\bar{d}\rangle - |u\bar{u}\rangle)$$

$$|I=1, I_3=0\rangle$$

To je π^0

$$|\pi^0\rangle = |I=1, I_3=0\rangle$$

Spet spustimo stanje

$$|\pi^-\rangle = |I=1, I_3=-1\rangle$$

to lahko ponovljamo tudi za ostale (do singleta pridemo kasneje).

$(u, d, s) = 9$ kombinacij

$$|\pi^+\rangle \xrightarrow{d \rightarrow s} |u\bar{s}\rangle = |K^+\rangle$$

↑ kaon
izospin 0

$$Y = B+S = 1$$

$$I_3 = 1/2$$

Kaoni imajo spin 0

$$|\pi^+\rangle \xrightarrow{u \rightarrow s} |s\bar{u}\rangle = |\bar{K}^0\rangle$$

↓ Antikaon

$$Y = -1$$

$$I_3 = 1/2$$

Strangeness -1

$$\begin{aligned}
 |K^-\rangle &\xrightarrow{d \rightarrow s} |s\bar{u}\rangle \\
 |K^0\rangle &\xrightarrow{u \rightarrow s} |s\bar{d}\rangle
 \end{aligned}
 \quad
 \begin{aligned}
 S &= -1 \\
 I_3 &= -1/2 \\
 S &= 1 \\
 I_3 &= -1/2
 \end{aligned}$$

Sestavimo sedaj popolnoma simetrično kombinacijo ("singlet") v izospinu:

$$\frac{1}{\sqrt{3}} (|d\bar{d}\rangle + |u\bar{u}\rangle + |s\bar{s}\rangle) = |\eta_0\rangle$$

in še nanj ortogonalno stanje:

$$\frac{1}{\sqrt{6}} (|u\bar{u}\rangle + |d\bar{d}\rangle - 2|s\bar{s}\rangle) = |\eta_8\rangle$$

V naravi so stanja mešanica obeh:

$$\left. \begin{aligned}
 |\eta\rangle &= \sin\theta |\eta_0\rangle + \cos\theta |\eta_8\rangle \\
 |\eta'\rangle &= \cos\theta |\eta_0\rangle - \sin\theta |\eta_8\rangle
 \end{aligned} \right\} \text{kot rotacija}$$

Spin 0: $(\pi, K, \underbrace{\eta_0, \eta_8}_{\eta, \eta'})$

Spin 1: $(\rho, K^*, \underbrace{\Phi_0, \Phi_8}_{\Phi, \omega})$
 ρ^+, ρ^0, ρ^-

$$|\Phi\rangle = \sin\theta' |\Phi_0\rangle + \cos\theta' |\Phi_8\rangle$$

$$|\omega\rangle = \cos\theta' |\Phi_0\rangle - \sin\theta' |\Phi_8\rangle$$

Stvari se še dodatno zapletajo ko dodamo še težke grade

Kvarci: c (čar/charm $c=1$)

\Rightarrow Mezoni D

\bar{c} (čar/charm $c=-1$) ($D^+, D^-, D^{*+}, D^{*0}, \bar{D}^0, \dots$)

Kvarci: b (beauty Beauty $=+1$)

\Rightarrow Mezoni B

\bar{b} (beauty Beauty $=-1$) ($B^+, B^-, B^0, B^{*+}, \dots$)

črna stanja:

J/ψ $|c\bar{c}\rangle$ $m_{J/\psi} = 3,1 \text{ GeV}$

PDG kot
Vir

Υ $|b\bar{b}\rangle$
↑
Upsilon

Diracova enačba

- Aitchisonson and Hey
- Ryder

Diracova ideja:

Funkcija stanja (\hat{H}) linearna v času \Leftrightarrow Verjetnostna $\rho = |\psi|^2$ $\rho \geq 0$

$$\left(\frac{\partial \rho}{\partial t} \sim \psi^* \frac{\partial \psi}{\partial t} + \frac{\partial \psi^*}{\partial t} \psi \right)$$

↑ ↑
Enačba stanja

Zanim si želi samo $p_0 = E > 0$ rešitve, kjer si $p^\mu = (p_0, \vec{p})$.

Postopke za konstrukcijo:

Linearna v $\frac{\partial}{\partial t} \rightarrow$ Lin $\partial_\mu = \left(\frac{\partial}{\partial t}, \vec{\nabla} \right) \rightarrow$ Kovarianca zapisa v relativnosti

enačba:

$$i \frac{\partial \psi}{\partial t} = \left(\underbrace{-i \vec{\alpha} \cdot \vec{\nabla}}_{\vec{\alpha} \cdot \hat{p}} + \beta m \right) \psi = \hat{H} \psi$$

$$\vec{\alpha} \cdot \hat{p} \Rightarrow \hat{H} = \vec{\alpha} \cdot \hat{p} + \beta m = i \frac{\partial}{\partial t}$$

Kot pogoj rabimo še ohranitev energije, kar je Klein-Gordonova enačba

$$(\square + m^2)\Psi = 0 \quad -\frac{\partial^2 \Psi}{\partial t^2} = (-\nabla^2 + m^2)\Psi \quad *$$

Rešitev oblike:

$$\Psi = \underbrace{N \omega(p)}_{\text{Dirac}} \underbrace{e^{-ip \cdot x}}_{\text{K-G}}$$

"Kvadriramo" našo enačbo (operatorje): $\hat{H}^2 = \hat{H} \cdot \hat{H}$

$$\left(i \frac{\partial}{\partial t}\right)^2 \Psi = (-i \vec{\alpha} \cdot \vec{\nabla} + \beta m)(-i \vec{\alpha} \cdot \vec{\nabla} + \beta m) \Psi$$

$$-\frac{\partial^2}{\partial t^2} \Psi = -\sum_{i=1}^3 \alpha_i^2 \frac{\partial^2 \Psi}{\partial x_i^2} - \sum_{i>j} (\alpha_i \alpha_j + \alpha_j \alpha_i) \frac{\partial^2 \Psi}{\partial x_i \partial x_j} -$$

$$-im \sum_i (\alpha_i \beta + \beta \alpha_i) \frac{\partial \Psi}{\partial x_i} + \beta^2 m^2 \Psi \quad *$$

Mora vsežati
mohvati

Pogoji za $\vec{\alpha} = \{\alpha_1, \alpha_2, \alpha_3\}$ in β

$$\alpha_i \beta + \beta \alpha_i = \{\alpha_i, \beta\} = 0 \quad i = 1, 2, 3$$

anti komutator \rightarrow

$$\{\alpha_i, \alpha_j\} = 0 \quad i, j = 1, 2, 3$$

$$\alpha_i^2 = I$$

$$\beta^2 = I$$

Izkaže se, da je najnižja možna št. dimenzij potrebnih 4.

$\Rightarrow \Psi$ oz. ω je 4-dim vektor

To so dimenzije v hilbertovem
prostoru stanj.

$$\Psi = \begin{bmatrix} \Psi_1 \\ \Psi_2 \\ \Psi_3 \\ \Psi_4 \end{bmatrix}$$

Tem zahtevam ustreza:

2x2 bloki

σ_i - Paulijeva matrike

$$\alpha_i = \begin{pmatrix} 0 & \sigma_i \\ \sigma_i & 0 \end{pmatrix}$$

$$\sigma_1 = \sigma_x = \begin{pmatrix} 0 & 1 \\ 1 & 0 \end{pmatrix}$$

$$\sigma_2 = \sigma_y = \begin{pmatrix} 0 & -i \\ i & 0 \end{pmatrix}$$

$$\sigma_3 = \sigma_z = \begin{pmatrix} 1 & 0 \\ 0 & -1 \end{pmatrix}$$

U... unitarne transformacije

oz.

$$\vec{\alpha} = \begin{pmatrix} 0 & \vec{\sigma} \\ \vec{\sigma} & 0 \end{pmatrix}$$

in

$$\beta = \begin{pmatrix} \mathbb{I}_2 & 0 \\ 0 & -\mathbb{I}_2 \end{pmatrix} = \begin{pmatrix} 1 & & 0 \\ & 1 & \\ 0 & & -1 \\ & & & -1 \end{pmatrix}$$

Izbira ni enolična

$$\alpha_i' = U \alpha_i U^{-1}$$

$$\beta' = U \beta U^{-1}$$

So tudi rešitve.

V uporabi tudi Weyl-ova baza.

$$\psi = N \psi e^{-i p \cdot x}$$

↑

Bi-spinor

$$\begin{pmatrix} \uparrow \\ \downarrow \end{pmatrix}$$

$$f = \begin{pmatrix} 0 \\ 1 \end{pmatrix}, \begin{pmatrix} 1 \\ 0 \end{pmatrix}$$

$$g = \begin{pmatrix} 1 \\ 0 \end{pmatrix}, \begin{pmatrix} 0 \\ 1 \end{pmatrix}$$

$$\{\alpha_i, \beta\} = 0$$

$$\{\alpha_i, \alpha_j\} = 2 \delta_{ij} \mathbb{I}$$

Če bi zapisali Diracovo enačbo v kovariantni obliki: Vpeljemo nov

zapis:

$$\gamma^\mu = \begin{cases} \gamma^0 = \beta & (\gamma^0)^2 = \mathbb{I} \\ \gamma^i = \beta \alpha_i & (\gamma^i)^2 = -\mathbb{I} \end{cases}$$

Četverica matrik

Če bi zapisali torej množimo z $\gamma^0 = \beta$

→

Dobimo:

$$(i \gamma^\mu \partial_\mu - m) \Psi = 0$$

Oznaka

$$\gamma^0 \frac{\partial}{\partial t} + \gamma^i \frac{\partial}{\partial x^i}$$

$$\gamma^\mu a_\mu = \not{a}$$

in tako dobimo Diracovo enačbo v končni obliki:

$$(i \gamma^\mu \partial_\mu - m) \Psi = (i \not{\partial} - m) \Psi = 0$$

$$g^{\mu\nu} = \begin{bmatrix} 1 & & 0 \\ & -1 & \\ 0 & & -1 \end{bmatrix} \quad \{ \gamma^\mu, \gamma^\nu \} = 2 g^{\mu\nu} I$$

Rešitve Diracove enačbe

Zapis:

$$\text{Definirajmo } E = +\sqrt{\vec{p}^2 + m^2} \quad p^0 = \pm E$$

$$p^\mu (p^0, \vec{p})$$

Vzamemo nastavek:

$$\Psi = N \omega(p) e^{-ip \cdot x} \quad ; \quad \omega = \begin{bmatrix} \uparrow \\ \chi \end{bmatrix} \quad \text{Bi-spinorji}$$

Vstavimo v enačbo:

$$[i \gamma^\mu \partial_\mu - m] \omega(p) e^{-ip \cdot x} = 0$$

$$[\gamma^\mu p_\mu - m] \omega(p) = 0$$

$$[\not{p} - m] \omega(p) = 0$$

Spet množimo z $\gamma^0 = \beta$ da gremo v klasičen zapis:

$$[\vec{\alpha} \cdot \vec{p} + \beta m] \omega = p_0 \omega$$

$$\Rightarrow \begin{bmatrix} mI_2 & \vec{\sigma} \cdot \vec{p} \\ \vec{\sigma} \cdot \vec{p} & -mI_2 \end{bmatrix} \begin{bmatrix} \psi \\ \chi \end{bmatrix} = p_0 \begin{bmatrix} \psi \\ \chi \end{bmatrix}$$

Dobimo dve (sklopljeni) enačbi za spinorja:

$$(\vec{\sigma} \cdot \vec{p}) \chi = (p_0 - m) \psi$$

$$(\vec{\sigma} \cdot \vec{p}) \psi = (p_0 + m) \chi$$

Izrazimo χ in vstavimo v I. enačbo:

$$\chi = \frac{(\vec{\sigma} \cdot \vec{p}) \psi}{p_0 + m}$$

$$\Rightarrow \underbrace{(\vec{\sigma} \cdot \vec{p})^2}_{\vec{p}^2} \psi - (p_0 + m)(p_0 - m) \psi$$

$$\vec{p}^2 \psi = (p_0^2 - m^2) \psi \Rightarrow p_0 = \pm \sqrt{\vec{p}^2 + m^2} = \pm E$$

Očitno se Dirac ni uresničila želja. Možna stanja so bila tudi z negativno energijo

$$p_0 = E \quad p_0 = -E$$

Na primer za $p_0 = E$ in izrazimo

$$w^{(1,2)} = N \begin{pmatrix} \psi^{(1,2)} \\ \frac{\vec{\sigma} \cdot \vec{p}}{E+m} \psi^{(1,2)} \end{pmatrix}$$

$\psi^{(1,2)}$ - spinor

$$\psi^{(1)} = \begin{pmatrix} 1 \\ 0 \end{pmatrix} = \uparrow$$

$$\psi^{(2)} = \begin{pmatrix} 0 \\ 1 \end{pmatrix} = \downarrow$$

$$\psi^{(1)\dagger} \psi^{(1)} = (1, 0) \begin{pmatrix} 1 \\ 0 \end{pmatrix} = 1$$

Normalizacija:

$$w^\dagger w = |N|^2 \left(1 + \frac{(\vec{\sigma} \cdot \vec{p})^2}{(E+m)^2} \right)$$

$$= |N|^2 \left(\frac{E^2 + 2Em + m^2 + p^2}{(E+m)^2} \right) = |N|^2 \left(\frac{2E^2 + 2Em}{(E+m)^2} \right)$$

$$\Rightarrow w^\dagger w = |N|^2 \frac{2E}{E+m}$$

[Tipično se uporabi:

$$N = \sqrt{E + m}$$

$$\omega = 2E$$

$$\int \rho dV = 2E \quad \text{kot ravninski val}$$

$$f^{(1)} = \begin{pmatrix} 1 \\ 0 \end{pmatrix}$$

$$f^{(2)} = \begin{pmatrix} 0 \\ 1 \end{pmatrix}$$

in Tolj za $p_0 = +E > 0$

$$\omega \rightarrow u(p, s) \equiv (E + m)^{1/2} \begin{pmatrix} f^{(s)} \\ \frac{\vec{\sigma} \cdot \vec{p}}{E + m} f^{(s)} \end{pmatrix} \quad s = 1, 2$$

$$\psi(e^-) = \frac{1}{\sqrt{V}} u(p, s) e^{-ip \cdot x} \quad ; \quad p = p_+ = (E, \vec{p})$$

↑
"delec"
lahko poljubni
fermioni

Ravno obratno
ker ima antidelec
obrnjen spin

in še stanj $p_0 = -E < 0$

$$\omega(p_0 = -E, -\vec{p}, s) \rightarrow v(p, s) \equiv (E + m)^{1/2} \begin{pmatrix} \frac{\vec{\sigma} \cdot \vec{p}}{E + m} \chi^{(s)} \\ \chi^{(s)} \end{pmatrix} \quad s = 1, 2$$

$$\chi^{(1)} = \begin{pmatrix} 0 \\ 1 \end{pmatrix}$$

$$\chi^{(2)} = \begin{pmatrix} 1 \\ 0 \end{pmatrix}$$

$$\psi(e^+) = \frac{1}{\sqrt{V}} v(p, s) e^{ip_+ \cdot x}$$

$$p_+ = (E, \vec{p})$$

$$p = -p_+$$